

З. Г. ТЕР-МАРТИРОСЯН, Р. Г. МАНВЕЛЯН

## НАПРЯЖЕННОЕ СОСТОЯНИЕ ГОРНЫХ МАССИВОВ ПРИ ДЕЙСТВИИ МЕСТНОЙ НАГРУЗКИ И ОБЪЕМНЫХ СИЛ

При оценке кратковременной и длительной устойчивости массивов горных пород, которые служат основанием или средой для самых различных сооружений, первостепенное значение имеет напряженное состояние, которое формируется как под воздействием природных факторов (гравитационные и сейсмические силы), так и инженерной деятельности (возведение сооружений, выемка, пригрузка и пр.).

Имеется ряд работ [1,3], в которых дается решение вышеуказанной задачи при действии только гравитационных сил, представляющий определенный интерес для инженерного прогнозирования.

В настоящей статье дается общая постановка и решение краевой задачи плоской теории упругости для полубесконечных областей с криволинейной границей при одновременном действии поверхностных, гравитационных и сейсмических сил. Причем, сейсмическое действие на горный массив учитывается с помощью равномерно распределенного по всему массиву сейсмического ускорения, т. е. задача сводится к квазистатической.

Кроме того, предполагается, что поверхностные касательные напряжения возникают вследствие сейсмического воздействия. Причем интенсивность этих напряжений пропорциональна нормальным напряжениям на границе (весу сооружения). Вместе с тем приведенное ниже решение краевой задачи с учетом только поверхностных сил может представлять самостоятельный интерес для инженерной практики [4].

Использование принципа квазистатической задачи к учету сейсмических сил значительно упрощает задачу и дает результаты с достаточной для практических целей точностью при оценке местной и общей устойчивости горных массивов.

Массив горных пород будем рассматривать как сплошную, линейно-деформируемую, однородную, изотропную полубесконечную область  $S$ , приближающуюся на бесконечности к полуплоскости. Граница области  $L$  описывает профиль горного массива (рис. 1). В каждой точке области действуют массовые силы гравитации  $\tau = \rho \cdot g$  и сейсмические силы  $k_c \cdot \gamma = \rho \cdot a$ ,

где:  $\gamma$  — объемный вес пород, составляющих массив;

$\rho$  — плотность пород;

$g$  — ускорение свободного падения тела;

$k_c$  — коэффициент сейсмичности;

$a$  — ускорение сейсмической волны.

Рассматривается плоская деформация. Допущение о плоской деформации предполагает протяженность массива горных пород и неизменность его профиля от сечения к сечению.

Предполагается также, что на границе действуют нормальные и касательные распределенные нагрузки  $N$  и  $T$ .

Форма границы рассматриваемой области произвольная, однако предполагается, что известно конформное отображение нижней полуплоскости на область, осуществляющееся рациональной функцией. Для решения задачи в такой постановке был применен метод комплексных потенциалов Колесова—Мусхелишвили. Известно, что компоненты напряжений связаны с искомыми комплексными потенциалами  $\Phi(z)$  и  $\psi(z)$  выражениями [2]:

$$\sigma_{\xi} + \sigma_{\eta} = 2[\Phi(z) + \overline{\Phi(\zeta)}], \quad (1)$$

$$\sigma_{\eta} - \sigma_{\xi} + 2i\tau_{\xi\eta} = \frac{2}{\omega'(\zeta)} \left[ \overline{\omega'(\zeta)} \cdot \Phi'(\zeta) + \omega'(\zeta) \cdot \psi'(\zeta) \right], \quad (2)$$

где:  $\omega(\zeta)$  — рациональная функция, осуществляющая конформное отображение нижней полуплоскости  $\zeta = \xi + i\eta$  на исследуемую область плоскости  $z = x + iy$  (рис. 1);

$\sigma_{\xi}$ ,  $\sigma_{\eta}$ ,  $\sigma_{\xi\eta}$  — компоненты напряжений в криволинейных координатах  $\xi$ ,  $\eta$ . При этом имеют место соотношения:

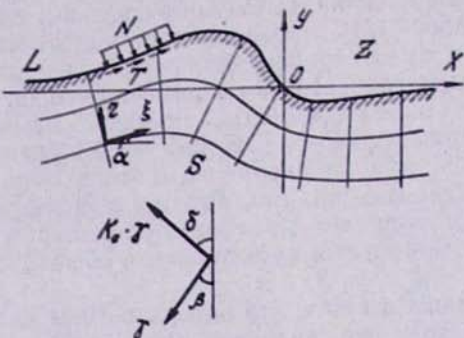


Рис. 1. Расчетная схема

$$\begin{aligned} \sigma_{\xi} + \sigma_{\eta} &= \sigma_y + \sigma_x, \\ \sigma_{\eta} - \sigma_{\xi} + 2i\tau_{\xi\eta} &= (\sigma_y - \sigma_x + 2i\tau_{xy}) \cdot e^{2i\alpha}, \end{aligned} \quad (3)$$

где  $\alpha$  — угол между осью  $\xi$  и осью  $OX$ ,

$$e^{2i\alpha} = \frac{\omega'(\zeta)}{\overline{\omega'(\zeta)}}. \quad (4)$$

Складывая (1) и (2) и заменяя  $\zeta$  на  $t$  — точки действительной оси на плоскости  $\zeta$ , получаем выражения для граничных условий:

$$\Phi(t) + \overline{\Phi(t)} + \frac{1}{\omega'(t)} \left[ \overline{\omega(t)} \cdot \Phi'(t) + \omega'(t) \cdot \psi(t) \right] = N^o + i T^o, \quad (5)$$

где  $N^o$  и  $T^o$  — являются граничными значениями нормальной и касательной компонент напряжений  $\sigma_{\eta}$  и  $\tau_{\xi\eta}$ . В случае наличия объемных сил  $N^o$  и  $T^o$  не совпадают с задаваемыми величинами внешней нагрузки  $N$  и  $T$ , действующими на границе. Для нахождения  $N^o$  и  $T^o$  частные решения, учитывающие массовые силы, представим следующим образом:

$$\left\{ \begin{array}{l} \sigma_x^r = K \cdot \gamma (\cos \beta - K_c \cdot \cos \delta) \cdot y \\ \sigma_y^r = \gamma (\cos \beta - K_c \cdot \cos \delta) \cdot y \\ \tau_{xy}^r = \gamma (\sin \beta + K_c \cdot \sin \delta) \cdot y \end{array} \right. \quad (6)$$

Выражения (6) являются решениями для бесконечной наклонной полуплоскости в поле гравитационных и сейсмических сил. Такой выбор частных решений обосновывается тем, что по мере удаления от границы, влияние его криволинейности, а также внешних сил, которые считаются конечными, стремится к нулю. В выражении (6)  $K = \mu/(1-\mu)$  является коэффициентом бокового давления,  $\mu$  — коэффициент Пуассона.

Воспользовавшись известными выражениями для нормальных и касательных усилий [2]:

$$\left\{ \begin{array}{l} N = \frac{\sigma_x^0 + \sigma_y^0}{2} - \frac{\sigma_x^0 - \sigma_y^0}{2} \cdot \cos 2\alpha - \tau_{xy}^0 \cdot \sin 2\alpha, \\ T = -\frac{\sigma_x^0 - \sigma_y^0}{2} \cdot \sin 2\alpha + \tau_{xy}^0 \cdot \cos 2\alpha, \end{array} \right. \quad (7)$$

где  $\sigma_x^0$ ,  $\sigma_y^0$ ,  $\tau_{xy}^0$  — общие решения для напряжений, находим:

$$\left\{ \begin{array}{l} N^0 = N - \frac{\sigma_x^r + \sigma_y^r}{2} + \frac{\sigma_x^r - \sigma_y^r}{2} \cdot \cos 2\alpha + \tau_{xy}^r \cdot \sin 2\alpha, \\ T^0 = T + \frac{\sigma_x^r - \sigma_y^r}{2} \cdot \sin 2\alpha - \tau_{xy}^r \cdot \cos 2\alpha. \end{array} \right. \quad (8)$$

Используя известные формулы Эйлера [2] и выражая граничные условия как функцию точек действительной оси  $\eta=0$  плоскости  $\zeta$ , которые обозначим через  $t$ , с учетом (4), получим:

$$N^0 + iT^0 = N + iT - \frac{\sigma_x^r + \sigma_y^r}{2} + \left( \frac{\sigma_x^r - \sigma_y^r}{2} - \tau_{xy}^r \cdot i \right) \cdot \frac{\omega'(t)}{\omega'(t)}. \quad (9)$$

Выражением (9) представлены граничные условия для задачи о распределении дополнительных напряжений в невесомой полуплоскости с криволинейной границей.

Рассмотрим конкретный пример решения задачи. В качестве отображающей функции примем:

$$Z = \omega(\zeta) = c \left[ \zeta - \frac{B\zeta - b}{\zeta + a - i} \right], \quad (10)$$

где  $B$ ,  $b$ ,  $a$  — постоянные величины;

$c > 0$  — коэффициент пропорциональности.

Параметрические уравнения, описывающие границы исследуемых областей, получим при  $\xi = t$ ,  $\eta = 0$ , путем разделения в формуле (10) вещественной и мнимой частей:

$$\left. \begin{array}{l} x = c \left[ t - \frac{(Bt - b)(t + a)}{(t + a)^2 + 1} \right], \\ y = -c \cdot \frac{Bt - b}{(t + a)^2 + 1}. \end{array} \right. \quad (11)$$

Варьирование параметрами  $B$ ,  $a$ ,  $b$  позволяет исследовать напряженное состояние горных массивов с различными криволинейными границами: симметричные вырезы ( $b < 0$ ,  $B = a = 0$ ), симметричные выступы ( $b > 0$ ,  $B = a = 0$ ), несимметричные вырезы ( $B < 0$ ,  $a > 0$ ,  $b = 0$ ), несимметричные выступы ( $B > 0$ ,  $a > 0$ ,  $b = 0$ ), склоны ( $B > 0$ ,  $a = 0$ ,  $b = 0$ ).

Учитывая, что  $y = [\omega(t) - \overline{\omega(t)}]/2i$ , и используя (6) и (10) из уравнения (9), получим выражение для внешних усилий:

$$N^o + iT^o = N + iT + \frac{c(Bt - b)}{2} \left\{ \frac{K_x + K_y}{(t + a + i)(t + a - i)} - \right. \\ \left. - \frac{(K_x - K_y - 2K_{xy} \cdot i)(t + a + i)[(t + a - i)^2 - Ba - b + Bi]}{(t + a - i)^2[(t + a - i)^2 - Ba - b + Bi]} \right\}, \quad (12)$$

где:  $K_x = K \cdot \gamma \cdot (\cos \beta - K_c \cdot \cos \delta)$ ,  $K_y = \gamma \cdot (\cos \beta - K_c \cdot \cos \delta)$ ,  
 $K_{xy} = \gamma \cdot (\sin \beta + K_c \cdot \sin \delta) \cdot y$ . (13)

Учитывая (10), для граничного условия, сопряженного (5), будем иметь:

$$N^o - iT^o = \Phi(t) + \overline{\Phi(t)} + \frac{(t + a - i)^2[t(t + a - i) - Bt + b]}{(t + a - i)[(t + a - i)^2 - Ba - b + Bi]} \cdot \Phi'(t) + \\ + \frac{(t + a - i)^2[(t + a + i)^2 - Ba - b - Bi]}{(t + a + i)^2[(t + a - i)^2 - Ba - b + Bi]} \cdot \overline{\psi(t)}. \quad (14)$$

Умножая выражение (14) на  $\frac{1}{2\pi i} \cdot \frac{(t + a - i)^2 - b - Ba + Bi}{(t + a - i)^2 \cdot (t - \zeta)}$ , а выражение, сопряженное (14), на  $\frac{1}{2\pi i} \cdot \frac{(t + a + i)^2 - Ba - b - Bi}{(t + a + i)^2 \cdot (t - \zeta)}$ , интегрируя далее от  $-\infty$  до  $+\infty$  и используя свойства интегралов типа Коши [2], получим:

$$\Phi(\zeta) = \frac{1}{Ba + b - Bi - (\zeta + a - i)^2} [( \zeta + a - i)^2 \cdot J_1(\zeta) - (Ba + b - Bi) \cdot \overline{\Phi(-a - i)}], \quad (15)$$

$$\psi(\zeta) = \frac{(z + a - i)^2}{Ba + b - Bi - (\zeta + a - i)^2} \left\{ J_2(\zeta) + \Phi(\zeta) - \frac{Ba + b + Bi}{(\zeta + a + i)^2} [\Phi(\zeta) - \Phi(-a - i)] + \right. \\ \left. + \left[ \zeta - \frac{B\zeta - b}{\zeta + a + i} \right] \cdot \Phi(\zeta) \right\}, \quad (16)$$

где

$$J_1(\zeta) = \frac{1}{2\pi i} \int_{-\infty}^{\zeta} \frac{[(t + a - i)^2 - Ba - b + Bi]}{(t + a - i)^2 \cdot (t - \zeta)} (N^o - iT) \cdot dt, \quad (17)$$

$$J_2(\zeta) = \frac{1}{2\pi i} \int_{-\infty}^{\zeta} \frac{[(t + a + i)^2 - Ba - b - Bi]}{(t + a + i)^2 \cdot (t - \zeta)} (N^o + iT^o) \cdot dt, \quad (18)$$

$$\Phi(-a-i) = \frac{1}{2(Ba+b+2)} \left\{ (Ba+b)[J_1(-a-i) - J_1(-a-i)] - \right. \\ \left. - 4J_1(-a-i) - Bi[J_1(-a-i) + J_1(-a-i)] \right\}. \quad (19)$$

Для вычисления выражений (17) и (18) введем для удобства новую комплексную переменную  $\zeta = c - t_0$ , где  $t_0$  — параметр, характеризующий местоположение нагрузок  $N$  и  $T$ . Пусть граничным точкам участка нагружения в плоскости  $Z$  отвечают в плоскости  $z$  точки  $(-l, 0)$  и  $(l, 0)$ , тогда из (17) и (18) с учетом (12) находим:

$$J_1(\zeta) = J_1^{(1)}(\zeta) + J_1^{(2)}(\zeta), \quad (20)$$

$$J_2(\zeta) = J_2^{(1)}(\zeta) + J_2^{(2)}(\zeta),$$

где

$$J_1^{(1)}(\zeta) = -c \left\{ \frac{K_y(4B + ic_1) + K_{xy}(c_1 - 4Bi)}{8(\zeta + a - i)} + \right. \\ \left. + \frac{K_x + K_y}{4} \left[ \frac{c_2}{2(\zeta + a - i)^2} - \frac{c_3 + c_4 \cdot i}{(\zeta + a - i)^3} \right] \right\},$$

$$J_1^{(2)}(\zeta) = -\frac{T + iN}{2\pi} \left\{ \left[ 1 - \frac{Ba + b - Bi}{(\zeta + a - i)^2} \right] \cdot \ln \frac{\zeta - t_0 - l}{\zeta - t_0 + l} + \right. \\ \left. + \frac{Ba + b - Bi}{\zeta + a - i} \cdot (n_1 + in_2) + \frac{Ba + b - Bi}{(\zeta + a - i)^2} \ln \frac{t_0 + 1 + a - i}{t_0 - 1 + a - i} \right\}, \quad (21)$$

$$J_2^{(1)}(\zeta) = -c \left\{ \frac{k_y(4B + ic_1) - k_{xy}(c_1 - 4Bi)}{8(\zeta + a - i)} - \frac{(k_x - k_y - 2k_{xy} \cdot i) \cdot c_2}{9(\zeta + a - i)^2} + \right. \\ \left. + \frac{(k_x - k_y + 2k_{xy} \cdot i)(c_3 - c_4 \cdot i)}{4(\zeta + a - i)^3} \right\},$$

$$J_2^{(2)}(\zeta) = \frac{T - iN}{2\pi} \left\{ \left[ 1 - \frac{Ba + b + Bi}{(\zeta + a + i)^2} \right] \cdot \ln \frac{\zeta - t_0 - l}{\zeta - t_0 + l} + \right. \\ \left. + \frac{Ba + b + Bi}{\zeta + a + i} (n_1 - in_2) + \frac{Ba + b + Bi}{(\zeta + a + i)^2} \cdot \ln \frac{t_0 + 1 + a + i}{t_0 - 1 + a + i} \right\},$$

$$c_1 = c_2 + 4(Ba + b),$$

$$c_2 = (Ba + b)^2 + B^2,$$

$$c_3 = 2B \cdot (Ba + b),$$

$$c_4 = (Ba + b)^2 - B^2,$$

$$n_1 = 2l \frac{(t_0 + a)^2 - (l^2 + 1)}{[(t_0 + a)^2 - (l^2 + 1)]^2 + 4(t_0 + a)^2},$$

$$n_2 = 4l \frac{t_0 + a}{[(t_0 + a)^2 - (l^2 + 1)]^2 + 4(t_0 + a)^2}.$$

Таким образом, задача решена. Заметим, что при  $k_c = 0, N = T = 0$ , т. е. при отсутствии сейсмического воздействия и внешних нагрузок, полученные соотношения совпадают с решениями, приводимыми в работе [1].

Полученные в замкнутом виде решения запрограммированы для

расчетов на ЭЦВМ. Программа составлена как для определения компонент напряжений  $\sigma_x$ ,  $\sigma_y$ ,  $\tau_{xy}$ , так и для определения главных напряжений  $\sigma_1$ ,  $\sigma_2$ ,  $\tau_{\max}$ . По полученным расчетным данным строились изолинии и эпюры напряжений.

Кроме того, были построены изолинии коэффициентов устойчивости, которые определили по формуле [3]:

$$\eta_y = \frac{\tau_a^{\text{пр}}}{\tau_a} = \frac{(\sigma_x + \sigma_y - 2 \cdot c \cdot \operatorname{ctg}\varphi) \sin\varphi}{2 \cdot \tau_{\max} \cdot \cos^2\varphi} = \frac{\sin^2\varphi}{\cos^2\varphi},$$

где:  $\tau_a^{\text{пр}}$  — предельное сопротивление сдвига по наиболее опасным площадкам;

$\tau_a$  — действующее значение касательного напряжения на наиболее опасной площадке;

$c$  — сцепление;

$\varphi$  — угол внутреннего трения.

При  $\eta > 1$  исследуемая точка находится в устойчивом состоянии, при  $\eta = 1$  — в предельном, а при  $\eta < 1$  — в неустойчивом состоянии.

В качестве примеров на рис. 2,3 представлены изолинии максимальных касательных напряжений и коэффициентов устойчивости для случая

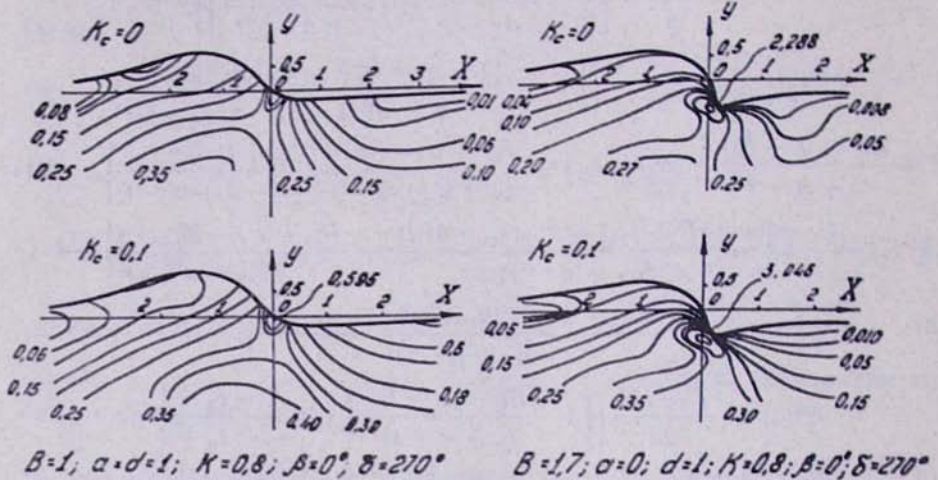


Рис. 2. Изолинии  $\tau_{\max}$

отсутствия внешних нагрузок. Изолинии максимальных касательных напряжений построены по относительным безразмерным значениям. Для перехода от безразмерных значений напряжений к размерным, соответствующим условиям конкретной задачи, необходимо воспользоваться формулой:

$$\tau = \bar{\tau} \cdot \gamma \cdot h,$$

где  $h = c \cdot B \cdot \sqrt{a^2 + 1}$  — высота выступа.

Изолинии коэффициентов устойчивости на рис. 3 построены при следующих данных:  $\gamma = 2 \text{ т/м}^3$ ,  $c = 10 \text{ т/м}^2$ ,  $h = 100 \text{ м}$ ,  $\varphi = 20^\circ$ .

Анализ полученных распределений напряжений при отсутствии внешних усилий позволил сделать следующие выводы. Наличие криволинейности границы обуславливает значительное перераспределение напряжений по сравнению с полуплоскостью. В местах вогнутости гра-

ницы наблюдаются значительные концентрации напряжений, где, естественно, и располагаются наиболее неустойчивые зоны. Область влияния криволинейности границы значительно зависит от коэффициента бокового давления  $k$ : с увеличением  $k$  область влияния криволинейности на распределение напряжений увеличивается. Вместе с тем

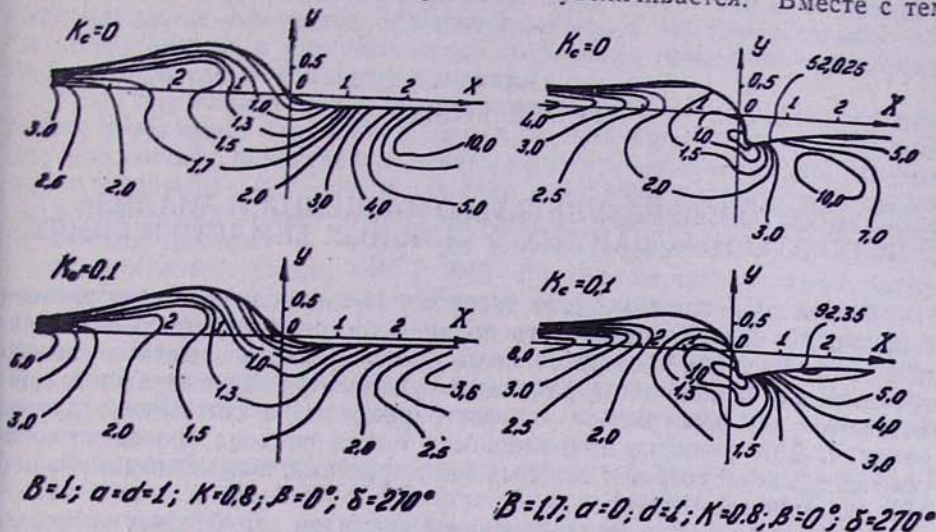


Рис. 3. Изолинии  $\tau_y$

концентрация напряжений в значительной степени зависит от кривизны криволинейной границы. Направление сейсмической силы оказывает существенное влияние на напряженное состояние массивов в зависимости от того, чем вызвана криволинейность,—вырезом или выступом, а также от коэффициента  $k_c$ . В случае выступов напряженное состояние бортов, расположенных со стороны направления сейсмической силы, увеличивается, в то время как напряженное состояние бортов выступов, расположенных с противоположной стороны, ухудшается. В случае вырезов наблюдается обратная картина. Это объясняется тем, что противоположная от направления сейсмической силы сторона выступов служит как бы контрфорсом для всего горного массива и воспринимает на себя силу удара. Очевидно, что именно эта сторона является зоной концентрации напряжений. В случае же выпадин концентрация касательных напряжений занимает область со стороны направления сейсмической силы, так как в этой зоне уменьшаются сжимающие напряжения, а растягивающие увеличиваются.

## ЛИТЕРАТУРА

- Ахпателов Д. М. Напряженное состояние горных массивов с криволинейными границами в поле гравитации. Сб. «Современные методы изучения физико-механических свойств горных пород». Труды ВСЕГИНГЕО, вып. 48, М., 1972.
- Мусхелишвили Н. И. Некоторые основные задачи математической теории упругости. М., изд. «Наука», 1966.
- Тер-Мартиросян З. Г., Ахпателов Д. М. О напряженном состоянии бескоченного склона с криволинейной границей в поле гравитации и фильтрации. «Проблемы геомеханики», № 5, Ереван, 1972.
- Цытович Н. А. Проблемы механики грунтов и скальных пород в геомеханике. Лекция на VIII Международном конгрессе по механике грунтов и фундаментостроения, М., 1973.